



بررسی آزمایشگاهی مقاومت دیوارهای ساخته شده از بلوک‌های بتن سبک هوا دار اتوکلاو شده AAC همراه با چسب (ملات) ویژه‌ی سیلکس

*^۱صغر وطنی اسکویی^۱، محمد مهدی ملاولی^۲

۱- دانشیار، دانشکده مهندسی عمران، دانشگاه تربیت دبیر شهید رجائی، تهران

۲- کارشناسی ارشد، مهندسی عمران، دانشگاه تربیت دبیر شهید رجائی، تهران

(دریافت ۱۳۹۱/۱/۱۵، پذیرش ۱۳۹۳/۱۱/۱۲)

چکیده

بلوک‌های سبک بتنی هوادار اتوکلاو شده (AAC)^۱ با توجه به مزایای زیادی که دارند استفاده از آن‌ها روز به روز بیشتر می‌شود. در این تحقیق عملکرد تجویی اجزا تشکیل‌دهنده دیوار و همچنین دیوارهای ساخته شده از بتن سبک هوادار مورد بررسی قرار گرفته است. ابتدا آزمایش فشاری و برشی بر روی عناصر تشکیل‌دهنده دیوار، ملات و بلوک، صورت گرفت سپس سه نمونه دیوار با ابعاد $25 \times 120 \times 120$ سانتی متر تحت بارگذاری قطری قرار گرفته است. با توجه به ملات مخصوص به کار رفته، لغزشی بین ملات و بلوک‌ها رخ نداده و شکست‌ها در بلوک‌ها ایجاد شد و علت رخ داد این نوع شکست، مقاومت برشی بلوک بتن سبک هوادار اتوکلاو کمتر از ملات استفاده شده می‌باشد.

کلمات کلیدی

AAC، آزمایش کشش قطری، مقاومت برشی ملات، ساختمان مصالح بنایی.

* نویسنده مسئول و عهده دار مکاتبات Email: mollavali@gmail.com

جدول (۱): ویژگی‌های بتن سبک هواردار اتوکلاو شده

بتن معمولی	بتن هواردار AAC	ویژگی
1450~2400	400~800	وزن مخصوص (kg/m^3)
17~55	2.5~7.5	مقاومت فشاری (MPa)
≤ 6	≤ 8	مقاومت مقابل حریق (ساعت)

جدول (۲): دسته بندی بتن‌های سبک هواردار اتوکلاو شده

مقاطومت فشاری (MPa)	وزن مخصوص (kg/m^3)	کلاس مقاومتی
2.5	350 – 450	AAC 2.0
5.0	450 – 550	AAC 4.0
7.5	650 – 750	AAC 6.0

با توجه به جدول (۲) در این نوع بلوک‌ها با افزایش وزن مخصوص، مقاومت فشاری نمونه نیز افزایش می‌یابد [۱۵]. اگرچه اندازه ابعاد حفره‌های موجود و پارامترهای دیگری در مقاومت بلوک‌ها نیز تاثیر گذار می‌باشد [۱۶ و ۱۷]. شایان ذکر است تمامی پارامترهای در راستای افزایش مقاومت هنگام تهیه و ساخت بتن‌های سبک اتوکلاو شده در کارخانه کمتر از راستای افزایش حجم می‌باشد [۱۸].

۲- انجام آزمایش بر روی ویژگی‌های تشکیل‌دهنده دیوارهای ساخته شده از بتن سبک هواردار اتوکلاو شده

۲-۱- آزمایش مقاومت فشاری بلوک‌ها

بلوک‌های مورد استفاده برای انجام آزمایش‌ها براساس ASTM C1386 [۱۳] انتخاب گردید. بنابراین آزمایش بر روی سه نمونه با ابعاد $10 \times 10 \times 10 \text{ cm}^3$ و سه نمونه نیزبا ابعاد $15 \times 15 \times 15 \text{ cm}^3$ انجام شد (شکل (۱)). نتایج بدست آمده از آزمایش‌ها در جدول (۳) ارائه گردیده است.

استفاده از مصالح سبک به علت کاهش تلاش‌های ناشی از زلزله در سال‌های اخیر گسترش روز افزونی داشته است [۳] به همین دلیل تعداد کارخانه‌های تولیدکننده بلوک بتن سبک هواردار اتوکلاو شده در کشورمان رشد روز افزونی داشته است. با بررسی‌های دقیق انجام شده بر روی عملکرد سازه ای این گونه مصالح، استفاده از این بلوک‌ها در ساخت ساختمان‌های کوتاه مرتبه [۴] و نیز به عنوان میانقاب امکان پذیر است [۵]. ساختمان‌های کوتاه مرتبه‌ی ساخته شده از بلوک‌های هواردار اتوکلاو شده را می‌توان جزء ساختمان‌های با مصالح بنایی در نظر گرفت [۶]. بتن سبک هواردار اتوکلاو شده، بتنه است که شامل سیمان، آهک، آب و ماسه ریزدانه‌ای است که به وسیلهٔ دستگاه آسیاب گولهای (Ball mill) ریزدانه شده است. اگرچه گاهی استفاده از خاکستر بادی به جای درصدی از مصالح ریزدانه نیز توصیه می‌شود [۷]. این نوع بتن به علت وزن ۴۰۰ مخصوص کم (یک سوم تا یک ششم بتن معمولی و حدود $800 \text{ kg}/\text{m}^3$) [۸] دارای خواص عایق حرارتی مناسب بوده و همچنین باعث کاهش وزن ساختمان نیز می‌گردد و به این لحاظ کاربرد آن در سطح جهان مخصوصاً در کشورهای لرزه خیز در حال گسترش است [۹]. استفاده از بلوک‌های سبک هوا دار اتوکلاو شده باعث اقتصادی شدن شالوده و دیوارهای یک ساختمان می‌شود [۱۰]. با توجه به تعداد محدود مقالات و کارهای تحقیقاتی در راستای دیوارهای ساخته شده از بتن‌های هواردار اتوکلاو شده [۱۱]، برای درک رفتاری دیوارهای ساخته شده از این محصول و همچنین برای تدوین و بسط معیارهای سازه ای نیاز به انجام آزمایش‌ها و بررسی‌های بیشتر است. معماری و همکارانش [۱۲] در مطالعه مقایسه ای خود دادند که دیوارهای ساخته شده با ابعاد $1/20 \times 1/20 \text{ m}$ از بلوک‌های بتن هواردار دارای ظرفیت باربری بیشتری نسبت به دیوارهای ساخته شده از بلوک‌های سیمانی متداول و دیوارهای خشتی با همان ابعاد می‌باشند. همچنین رطوبتی در حدود ۴۴ درصد، ظرفیت باربری جانبی دیوار ساخته شده از بلوک‌های بتنه سبک هواردار اتوکلاو شده را کاهش می‌دهد ویژگی‌های بلوک‌های بتنه‌ای هواردار از لحاظ چگالی و مقاومت فشاری طبق معیارهای ASTM C1386 [۱۳] و ASTM C1452 [۱۴] به رده‌های مختلف تقسیم بندی می‌شوند که در جداول (۱) و (۲) ارائه شده است، اگرچه مقادیر مقاومت و بعضی پارامترهای جداول فوق با معیارهای ارائه شده توسط ACI 523.4R [۹] کمی تفاوت دارد.

که در آن 50 مقدار تنش پایه مجاز و k ضریب کاهنده می‌باشد که با توجه به کلاس و رده مقاومتی این بلوک مقدار k از 0.24 (برای مقاومت کم) تا 0.02 (برای مقاومت بالا) پیشنهاد شده است [۱۹].

۲-۲- آزمایش مقاومت فشاری ملات

از ملات‌های معمولی (ماسه سیمان) نمی‌توان به راحتی در فصل مشترک بلوک‌های هوادار اتوکلاو شده با توجه به حفره‌های موجود و جذب آب بالای آن‌ها استفاده نمود بنابراین باید از ملاتی که بتواند پیوستگی مناسبی بین بلوک‌ها ایجاد کند و همچنین بین مقاومت ملات و بلوک هم‌خوانی وجود داشته باشد استفاده نمود در غیر این صورت باعث آسیب دیدن بلوک‌ها در فصل مشترک با ملات شده و ترکیب، پیوستگی و یکپارچگی خود را از دست می‌دهد [۲۰].

در دیوارهای ساخته شده از بتن سیک هوادار اتوکلاو شده (AAC) به علت وجود ساختار میکرو سیلیسی بلوک‌ها و ساختار متخلخل بهتر است از ملات خاصی استفاده شود. ملات علاوه بر چسبانندگی در ظرفیت باربری دیوار نیز نقش دارد. بنابراین لازم است مقاومت فشاری ملات بر اساس ASTM C109 بدست آمده [۲۱] و بر اساس معیارهای ACI 530 [۹] کنترل شود. بر این اساس در این مقاله برای بررسی آزمایشگاهی مقاومت فشاری ملات از نمونه‌های مکعبی با ابعاد $5 \times 5 \times 5$ cm 3 استفاده گردید (شکل(۲)). نتایج حاصل از آزمایش فشاری نمونه‌ها پس از ۲۸ روز عمل‌آوری در جدول (۴) ارائه شده است. مقدار میانگین مقاومت فشاری ملات (چسب) مورد استفاده در این دیوارها MPa ۱۲ می‌باشد که معیارهای لازم از نظر ASTM برای استفاده در بلوک‌های بتنی سیک هوادار اتوکلاو شده (جدول (۲)) را تامین می‌کند [۲۱].



شکل(۲): قالب ویژه‌ی مقاومت فشاری ملات



شکل(۱): نمونه‌ها و آزمایش مقاومت فشاری AAC

با توجه به مقادیر بدست آمده می‌توان نتیجه گرفت که این بلوک‌ها در کلاس رده مقاومتی AAC-G2 می‌باشند و میانگین مقاومت فشاری نمونه‌های مکعبی 10 سانتی‌متری تقریباً برابر $3/2$ MPa می‌باشند. دلیل استفاده از مقاومت فشاری نمونه مکعبی 10 سانتی‌متری تطبیق مقادیر با رده‌های ASTM می‌باشد که بر اساس این ابعاد مقاومت‌های فشاری بتن سیک هوادار اتوکلاو شده را رده بندی نموده است.

جدول (۳): مقادیر مقاومت فشاری بدست آمده برای AAC

مقادیر مقاومت فشاری (MPa)	نیروی نهایی (kN)	وزن نمونه (N)	شماره نمونه	ابعاد نمونه (cm)
$3/12$	$31/2$	$6/32$	نمونه ۱	10×10 $10 \times$
	$27/7$	$6/28$	نمونه ۲	
	$36/78$	$6/28$	نمونه ۳	
$2/45$	$55/13$	21	نمونه ۱	15×15 $15 \times$
	$59/15$	$20/27$	نمونه ۲	
	$43/16$	$20/27$	نمونه ۳	

میانگین مقاومت فشاری نمونه مکعبی 15 سانتی بتن سیک هوادار اتوکلاو شده برابر با $2/33$ MPa است. در بتن‌های معمولی ضریب اصلاح $1/05$ برای تبدیل نمونه $10 \times 10 \times 10$ سانتی‌متر استفاده می‌شود ولی برای نمونه‌های ساخته شده از بتن سیک هوادار اتوکلاو شده این مقدار $1/37$ بدست آمده است، اگرچه در طراحی نباید مقاومت فشاری طراحی دیوارهای بلوک‌های AAC را از رابطه (۱) بیشتر در نظر گرفت [۱۹]:

$$\sigma_{\text{perm}} = k \cdot \sigma_0 \quad (1)$$

جدول(۵): مقاومت برشی ملات بکار رفته

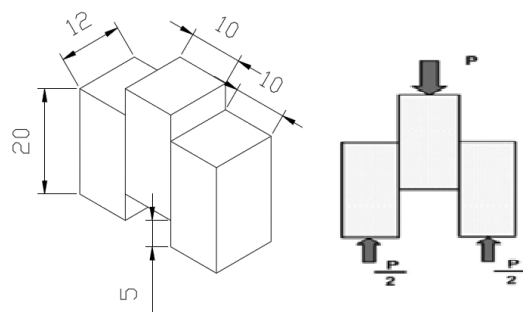
شماره نمونه	kN	بارنهایی وارد MPa	۷ مقاومت برشی ملات MPa
۱	۲۵/۹۴		۰/۷۲۰
۲	۲۷/۴۷		۰/۷۶۳
۳	۲۷/۲۲		۰/۷۴۴

ترن^۲ در کار آزمایشی خود [۱۱] میانگین مقاومت برشی را برابر با $0/5 \text{ MPa}$ برای نمونه‌ها بدست آورد و نشان داد اختلاف مقاومت برشی بستگی به جنس ملات دارد.

جدول(۶): مقاومت برشی ملات بکار رفته همراه با ملات رویه روی نمونه‌ها

شماره نمونه	kN	بارنهایی وارد MPa	۷ مقاومت برشی ملات (MPa)
۱	۳۴/۲۸		۰/۹۵۲
۲	۳۲/۷۶		۰/۹۱۰
۳	۳۳/۷۵		۰/۹۳۷

استفاده از ملات روی بلوک‌ها به علت افزایش سطح مقطع برشی و همچنین افزایش مقاومت خمثی باعث افزایش مقاومت برشی ملات گردیده است.



شکل(۴): ابعاد و نحوه بارگذاری در آزمایش مقاومت برشی ملات

۳- آزمایش بارگذاری قطری دیوار

برای انجام این آزمایش دیواری با ابعاد $1/20 \times 1/20 \text{ متر مربعی}$ به وسیله اعمال بار فشاری در طول قطر المان تعیین می‌شود [۲۲ و ۳]. شکل(۵) نحوه انجام این آزمایش را بر اساس ASTM E519 [۲۲] نشان می‌دهد که در آن بار قائم با یک نیروسنج و تغییر مکان قطر افقی و قائم به وسیله دو عدد تغییر مکان سنج اندازه گیری می‌شوند. مقاومت برشی بر اساس ASTM E519 [۲۲] از رابطه (۳) با استفاده از سطح خالص نمونه که از رابطه(۴) بدست می‌اید قابل محاسبه است :

$$S_s = 0.707 P / A_n \quad (3)$$

جدول(۴): مقادیر مقاومت فشاری به دست آمده برای ملات

ابعاد نمونه (cm)	شماره نمونه	وزن نمونه (N)	نیروی نهایی جک(kN)	۷ مقاومت فشاری (MPa)
۵×۵×۵	۱	۲/۱۷	۲۹/۹۲	۱۲
	۲	۲/۲۲	۳۱/۲۵	۱۲/۵
	۳	۲/۲	۲۸/۸۰	۱۱/۵۲

۳-۲- انجام آزمایش مقاومت برشی ملات

برای انجام آزمایش مقاومت برشی ملات از سه قطعه بلوک با ملات مورد نظر که به دلیل ویژگی ریزدانه‌ای آن بلوک‌ها با ضخامت ملات کمی به هم چسبانده و مورد آزمایش قرار می‌گیرند. سپس با استفاده از روابط مقاومت مصالح [۹ و ۱۱] مقاومت برشی ملات از رابطه (۲) به دست می‌آید.

$$\tau = P/A \quad (2)$$

که در آن τ مقاومت برشی حاصل از بار وارد P و A مجموع سطوح تماس بلوک‌ها با ملات مورد نظر می‌باشد.

ضخامت ملات دو تا سه میلیمتر می‌باشد که آزمایش‌ها بر روی نمونه‌های شاهد و نمونه‌هایی با ملات رویه از جنس خود ملات مورد نظر انجام گردید که در شکل(۳) شمایی از نمونه‌ها نشان داده شده اند و نحوه انجام آزمایش نیز در شکل(۴) ارائه شده است در آزمایش‌ها انجام شده به علت بالاتر بودن مقاومت برشی ملات نسبت به مقاومت برشی بلوک بتن سبک هوادار اتوکلاو شده تنها در یک نمونه، شکست از محل ملات بوده و در سایر نمونه‌ها شکست در بلوک (AAC) رخ داد. اگرچه شکست برشی می‌تواند در ملات، فصل مشترک و یا ترکیبی از هر دو باشد نتایج حاصل از آزمایش بر روی سه نمونه شاهد (بدون ملات رویه) و سه نمونه با ملات رویه در جدول(۵) و جدول(۶) آمده است.



شکل(۳): نمونه‌ها و آزمایش‌های انجام شده مقاومت برشی ملات

مورد استفاده در ساخت دیوارها دارای ابعاد $60\text{ cm} \times 20\text{ cm} \times 25\text{ cm}$ می‌باشد و ضخامت ملات دو تا سه میلیمتر و کلیه بندهای قائم وافقی پر شده و با بند کش دو میلیمتری بند کشی شده است. بلوک‌ها دارای مقاومت فشاری $3/2\text{ MPa}$ و مقاومت فشاری و برشی ملات به ترتیب 12 MPa و $7/75\text{ MPa}$ می‌باشد. اگر f_{AAC} مقاومت فشاری AAC باشد مقاومت برشی F_{vAAC} دیوارها طبق رابطه‌ی (۷) می‌باشد [۹، ۱۱].

$$F_{vAAC} = 0/15 f_{AAC} \quad (7)$$

با توجه به معادله (۷)، مقدار مقاومت برشی دیوار ساخته شده از بتن سیک هوا دار اتوکلاو شده $1/15$ برابر مقاومت فشاری آن یعنی مقدار $4/8\text{ MPa}$ است. این مقدار از مقاومت برشی ملات کمتر می‌باشد. در نتیجه به جای جدا شدن ملات شکست برشی در بلوک‌های بتونی باید رخ می‌داد که شکل-۸ نیز بیانگر این واقعیت می‌باشد.

برای محاسبه مقاومت کششی دیوار از رابطه (۸) استفاده می‌شود که در آن F_v مازکزیم نیروی قابل تحمل دیوار و A سطح مقطع دیوار می‌باشد [۶].

$$f_t = 0/45 F_v/A \quad (8)$$

نتایج حاصل از آزمایش کشش قطربی در جدول (۷) نشان داده شده است:

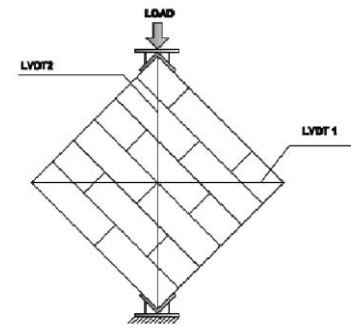
$$A_n = ((w+h)/2).t.n \quad (4)$$

که در آن S_s مقاومت برشی در سطح خالص، P بار اعمالی، A_n مساحت خالص نمونه، w عرض نمونه، h ارتفاع نمونه، t ضخامت نمونه و n عبارت است از درصدی از سطح واحد مصالح که توپر است و کرنش برشی از رابطه (۵) به دست می‌آید:

$$\square = (\Delta V + \Delta H)/g \quad (5)$$

که در آن \square کرنش برشی، ΔV کاهش طول قطر قائم، ΔH افزایش طول قطر افقی و g نیز طول گیج قائم می‌باشد. مدول برگشتی نیز از رابطه‌ی (۶) به دست می‌آید [۱۱]:

$$G = S_s / \square \quad (6)$$



شکل (۵): نحوه‌ی انجام آزمایش کشش قطربی

سه دیوار آزمایش شده دارای ضخامت $t = 25\text{ cm}$ بودند. به طوری که با اندازه‌ی آن در واقعیت برابر می‌کنند. بلوک‌های

جدول (۷): نتایج حاصل از آزمایش کشش قطربی

مقاومت کششی f_t Mpa	سختی کششی k_t (kN/mm)	سختی فشاری k_c (kN/mm)	مدول برشی G MPa	بیشترین نیرو F_v kN	شماره نمونه
۰/۲۹۰	۱۱۷۸	۹۷/۸۸	۴۶۳/۵۶	۱۲۳	دیوار ۱
۰/۴۵۰	۱۲۴۲	۱۱۴	۳۱۸/۸۵	۱۳۵	دیوار ۲
۰/۵۳۳	۱۳۲۹	۱۴۸	۵۰۴/۳۲	۱۶۰	دیوار ۳
۰/۴۲۴	۱۲۴۹/۶۶	۱۱۹/۹۶	۴۲۸/۹۱	۱۳۹/۳۳	میانگین

شکل(۸) آمده است. منحنی ها نشان می دهند که در این دیوارها محدوده شکل پذیری بسیار کم است و رفتار به نسبت تردی را دارند این امر به دلیل مقدار کم نسبت مقاومت نهایی به مقاومت تسليم است.

در صورت استفاده از بلوک های بتن سبک هوادار اتوکلاو شده(AAC) با رده های مقاومتی بالاتر (از جمله AAC-G6) لازم است از ملات با مقاومت بالاتر استفاده نمود در غیر این صورت شکست از ناحیه ملات صورت خواهد گرفت. از طرفی شکست در نمونه ها شکست ترد بوده و منحنی بار تغییر مکان، محدوده شکل پذیری کمی دارد البته شکل پذیری در این سازه ها مطابق

که در آن F_{vAAC} مقاومت برشی دیوار ساخته شده از بلوک های بتن سبک هوادار اتوکلاو شده می باشد و f'_{AAC} مقاومت فشاری بلوک های AAC است و محاسبات استاتیکی و تجزیه نیرو در قطر دیوار انطباق خوبی در نتایج آزمایش ها و رابطه فوق نشان داد. مقاومت فشاری به دست آمده از بلوک ها $\frac{3}{2}$ می باشد که بر اساس محاسبات روابط [۶] ACI523 می باشد که بر اساس $Mpa_{0.48}$ می رسد مقاومت برشی دیوار حاصل از این بلوک به $Mpa_{0.48}$ می رسد که کمتر از مقاومت برشی آزمایش شده ملات است. شکل(۶) نشان دهنده شکست نمونه ها است و منحنی نیرو تغییر مکان افقی و قائم مربوط به دیوارهای آزمایش شده در شکل(۷) و

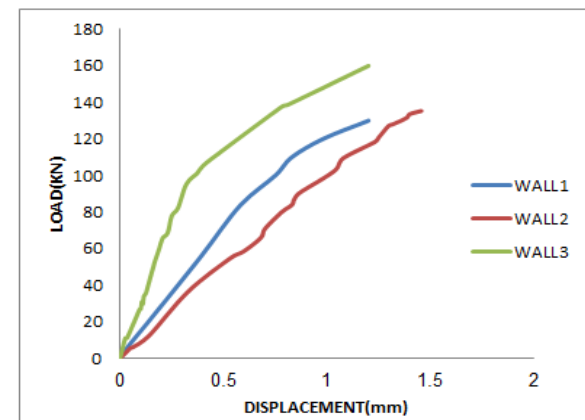


شکل(۶): نحوه شکست در نمونه دیوارهای مورد آزمایش کشش قطري

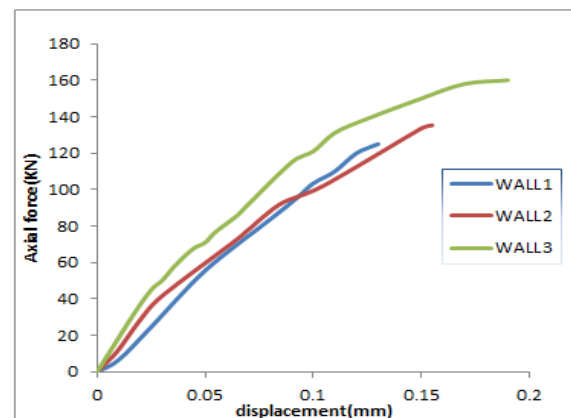
آین نامه حداکثر برابر $1/5$ در نظر گرفته می شود[۲۳]. نمودارها نشان می دهند که سختی اولیه یعنی شیب منحنی در 30° درصد مقاومت نهایی در راستای قطر کششی حدود $1250 kN/mm$ و در راستای قطر فشاری حدود $1000 kN/mm$ حاصل شد که سختی اولیه قطر کششی حدود 10° برابر قطر فشاری است یعنی تغییر مکان در راستای قطر فشاری بیشتر از قطر کششی است و حدود 10° برابر است و یکی از دلایل این که محور بارگذاری قطر فشاری بوده و در مقاومت مصالح عموماً در بارگذاری در طول جسم کرنش عرضی، نسبتی از کرنش طولی می باشد و همچنین وجود تخلخل این مصالح می تواند بر مقدار کرنش آن تاثیر گذار بوده و آن را افزایش دهد.

در دیوارهای مصالح بنایی AAC ساخته شده با ملاتی که ریزدانه و حاوی میکروسیلیس است اگر بلوک ساخته شده از بتن سبک هوادار اتوکلاو شده با رده های مقاومتی $2/5 Mpa$ باشد با توجه به حالت های شکست حاکم بر دیوارهای مصالح بنایی [۱] می توان گفت رفتار دیوار کنترل شونده توسط نیرو بوده و حالت های شکست کشش قطري و فشار در پنجه حاکم است.

در جدول(۸) مقاومت برشی چند نوع دیوار ساخته شده از بلوک های مختلف و سنگ و بلوک بتن سبک هوادار اتوکلاو شده با دیگر ملات ها در مقایسه با بلوک ها و ملات این تحقیق بر اساس رابطه (۳) بر گرفته از ASTM E519 [۲۲] نشان داده



شکل(۷): نمودار نیرو تغییر مکان قائم دیوارهای شاهد



شکل(۸): نمودار نیرو تغییر مکان افقی دیوارهای شاهد

سنگ‌ها اختلاف مقاومت برشی زیاد نبوده اما کم بودن مقاومت برشی تامین شده توسط ملات را می‌توان عامل اصلی در کاهش مقاومت برشی دانست. در مقایسه دیوارهای ساخته شده از بلوک تو خالی پر شده از ملات که در جهت افقی در بندها مسلح شده اند به علت مقاومت برشی ناشی از تسلیح در بندها مقداری مقاومت برشی دیوار افزایش یافته اما به دلیل ضعف موجود در بندها افزایش مقاومت برشی قابل توجه نیست اما در دیوارهای تسلیح شده در جهت قائم به دلیل افزایش مقاومت برشی در بندها و پوشش ضعف موجود در ملات سیمانی افزایش مقاومت برشی قابل توجه می‌باشد اما با توجه به غیر اقتصادی بودن و نیز زمان بر بودن، مسلح کردن این سازه‌ها موجب نبود تناسب آن با ساختمان صالح بنایی شده و از طرفی بلوک‌های پر شده از ملات وزن سازه را نیز بالا می‌برند.

شده است دلایل اختلافهای موجود بین نتایج آزمایش‌های تومازویچ^۳ را می‌توان در عواملی از قبیل جنس‌های مختلف بلوک و مقاومت و چسبندگی مختلف به دلیل ملات‌های متفاوت و مقیاس‌های مختلف نام برد البته باید توجه شود که مقاومت فشاری بلوک‌های بتن سبک هوا دار اتوکلاو شده آزمایش شده توسط تومازویچ برابر با $3/14 \text{ MPa}$ و بلوک‌های این آزمایش شده $3/2 \text{ MPa}$ بوده و مقاومت فشاری بتن سبک هوا دار اتوکلاو شده اختلاف چندانی ندارند. این نوع بلوک‌ها در مقایسه با دیوارهای سنگی هم از نظر وزنی بسیار سبکتر بوده و هم مقاومت برشی مناسب تری دارند و دلیل آن را می‌توان به عدم ایجاد چسبندگی مطلوب بین سنگ‌ها در بندها دانست این امر در مقایسه با دیوار بتن سبک و دیوارهای ساخته شده از بلوک‌های توخالی پر شده نیز قابل مشاهده است اما به دلیل وجود سازگاری مطلوب ملات با بلوک‌های سیمانی توخالی نسبت به

جدول(۸): مقایسه مقاومت برشی بعضی دیوارهای مصالح بنایی مختلف بر اساس رابطه مقاومت برشی ASTM E519

	آزمایشات تومازویچ بر دیوارهای AAC با بلوک yetong ۱/۲ مقیاس [۶]	دیوارهای این تحقیق با بلوک AAC بتن سبک و ملات و پیزه	دیوارهای ساخته شده از سنگ [۲۴]	دیوارهای با بلوک توخالی پر شده از گروت [۲۵]	دیوارهای با بلوک توخالی پر شده از ملات و جهت افقی [۲۶]	دیوارهای با بلوک توخالی پر شده از ملات و مسلح مسلح [۲۶]	دیوارهای با بلوک توخالی پر شده از ملات و مسلح جهت عمودی [۲۶]
مقاومت برشی (MPa) بر اساس رابطه (۳)	۰/۳۹۷	۰/۴۵۵	۰/۰۷۲	۰/۳۷	۰/۴۲	۰/۵۱	۰/۹۲
	۰/۳۱۴	۰/۷۰۷	۰/۰۴۷	۰/۶۱		۰/۷۴	۱/۲
	۰/۳۲۶	۰/۸۳۷	۰/۰۷۲	۰/۸۱		۰/۸۸	۱/۱۵
	۰/۴۴۱		۰/۰۶۸				
	۰/۴۲۴		۰/۰۵۳				
	۰/۴۳۸		۰/۰۵۹				
average	۰/۳۸۹	۰/۶۶۶	۰/۰۶۱	۰/۵۹۶	۰/۴۲	۰/۷۱	۱/۰۹

برابر مقاومت فشاری نمونه مکعبی با ابعاد $15 \times 15 \times 15 \text{ cm}$ است.

در صورتی که مبحث نهم مقررات ملی [۲] برای بتن معمولی این مقدار را $1/0/5$ پیشنهاد می‌دهد.

- با توجه به اینکه مقاومت برشی ملات در آزمایش‌های انجام شده دارای مقاومت بیشتری نسبت به مقاومت برشی بدست آمده از دیوارهای برشی ساخته شده از بلوک‌های با بتن سبک هوا دار اتوکلاو شده با مقاومت فشاری $3/2 \text{ MPa}$ (نمونه‌های مورد آزمایش) می‌باشد در نتیجه رفتار دیوار کنترل شونده توسط نیرو بوده و در صورت اعمال بار در راستای قطر حالت‌های شکست کشش قطری و فشار در پنجه حاکم است. با توجه به نمودار بار تغییر مکان حاصل مشخص است که شکست دیوارها ترد بوده و محدوده‌ی شکل پذیر آن کم می‌باشد.

۴- نتیجه گیری

- مقاومت برشی ملات آزمایش حدود $0/0/6$ مقاومت فشاری ملات مورد نظر بدست آمد و مقاومت برشی میانگین ملات در حالت بدون ملات رویه $0/7/2 \text{ MPa}$ و در حالت با ملات رویه $0/9/3 \text{ MPa}$ می‌باشد. یعنی در حالتی که نمونه دارای رویه ای از جنس خود چسب سیلکس باشد $2/5$ درصد افزایش مقاومت از خود نشان می‌دهد این مقدار تاثیر مقاومت خمی ملات در مقاومت برشی ملات می‌باشد.

- در بلوک‌های بتن سبک هوا دار اتوکلاو شده مقاومت فشاری نمونه مکعبی با ابعاد $10 \times 10 \times 10 \text{ cm}$ $1/3/7$ می‌باشد.

- Memari, A. M.; Grossenbacher, S. V.; Iulo, L. D.; "In-plane and Out-of-plane Load Testing and Evaluation of Sustainable Masonry Walls", pp. 1-10 , 2008.
- ASTM, Standard American Society for Testing and Materials ;"Standard specification for precast Autoclaved Aerated Concrete (PAAC) wall construction units". ASTM C1386, 1998.
- ASTM C 1452 ;"Standard Specification for Reinforced Autoclaved Aerated Concrete Elements", American Society for Testing and Materials, West Conshohocken, PA, 2000.
- Eden, N. B.; Manthorpe, A. R.; Miell, S A.; Szymanek, P. H.; Watsont K. L.; Number 2; "Autoclaved aerated concrete from slate waste Part 1: Some property/density relationships" The International Journal of Lightweight Concrete, Vol. 2,1980.
- Tada, S.; Nakano, S.; Wittmann, F.H.; "Microstructural approach to properties of moist cellular concrete", in: Autoclaved Aerated Concrete, Moisture and Properties ed. Elsevier, pp.71-88, 1983.
- Alexanderson, J.; "Relations between structure and mechanical properties of autoclaved aerated concrete", in: Cement and Concrete Research, Vol. 9, pp. 507-514, 1979.
- Argudo,J. F. ;"Evaluation and Synthesis of Experimental Data for Autoclaved Aerated Concrete" master thesis, The University of Texas at Austin, August 2003.
- Ghossoun Al-khaled;" Hebel design analysis program". A Thesis presented to the faculty of the school of architecture university of south California, 2002.
- Hearne, E. J.; Brettell, R.; Brightt, N. J.; "The behaviour of autoclaved aerated concrete blockwork subjected to concentrated loading" The International Journal of Lightweight Concrete, Vol. 2, No. 1, pp 49-55, 1980.
- ASTM, Standard American Society for Testing and Materials;" Standard test method for compressive strength of hydraulic cement mortars". ASTM C109, 1999.
- ASTM , Standard American Society for Testing and Materials ;"Standard test method for diagonal tension (shear) in masonry assemblages". ASTM E519, 1999.
- ACI 530-05; " Building Code Requirements for Masonry Structures" .ASCE 5-05/TMS 402-05.Reported by the Masonry Standards Joint Committee(MSJC) , 2004.
- Corradi, M.; Borri, A.; Vignoli,A; 2003; "Experimental study on the determination of

- دیوارهای بتن سبک هودار با ملات ویژه در قیاس با دیوارهای ساخته شده از سایر بلوک ها با توجه به کاهش وزن و ایجاد چسبندگی مناسب در بندها مقاومت برشی مطلوب تری دارد.

۵- مراجع

- [۱] دفتر تدوین استانداردها و معیارها؛ «دستورالعمل بهسازی لرزه ای ساختمان های بنایی غیرمسلح موجود»، سازمان مدیریت و برنامه ریزی کشور، صص ۳۷۶-۹۳-۸۶-۱۳۸۶.
- [۲] دفتر تدوین و ترویج مقررات ملی ساختمان ایران؛ مبحث نهم «طرح و اجرای ساختمانهای بتن آرمه»، وزارت مسکن و شهرسازی، ۱۳۸۵.
- [۳] Al-Mudhaf , H. A.; Attiogbe E. K. ; "Performance of autoclaved aerated-concrete masonry walls in Kuwait" ,Materials and Structures, Vol. 29, pp. 448-452, 1996.
- [۴] Radhi, H., " Viability of Autoclaved Aerated Concrete walls for the residential sector in the United Arab Emirates" Energy and Buildings, Vol. 43, pp. 2086-2092, 2011.
- [۵] Gottfredsen F. R; Knutsson, H.H; Nielsen A; "Determination of length changes due to moisture variations in Autoclaved Aerated Concrete" Materials and Structures, Vol. 30, pp 148-153, April 1997.
- [۶] Tomaževic , Miha; Gams, Matija; "Seismic behaviour of Ytong houses: model shaking table tests", Report P891/08-650-2, Ljubljana , 2010.
- [۷] Chusid, M.; "Building with Autoclaved Aerated Concrete", Masonry Construction, 1999.
- [۸] Schober, G.; "The most important aspects of microstructure influencing the strength of AAC", in: Proceedings of 4th International Conference on Autoclaved Aerated Concrete (p.145-153), Limbachiya and Roberts ed. Taylor & Francis Group, London. (ISBN 0 415 38356 0.), 25-278-9 , September, 2005.
- [۹] ACI 523.4R; "Guide for design and Construction with Autoclaved Aerated Concrete Panels", 2009.
- [۱۰] Narayanan, N. ; Ramamurthy, K.; "Structure and properties of aerated concrete: a review", Cement and Concrete Composites, Vol. 22, No. 5, pp. 321-329, 2000.
- [۱۱] Tanner, J. E;" Design provisions for Autoclaved Aerated Concrete (AAC) structural systems". The University of Texas at Austin, May 2003.

strength of masonry walls” Construction and Building Materials Vol. 17 ,pp. 325–337, 2003.

Kaaki,T.; 2013; “Behavior and strength of masonry prisms loaded in compression” Submitted in partial fulfilment of the requirements for the degree of Master of Applied Science .Dalhousie University Halifax, Nova Scotia, 2013.

Vasconcelos, G.; Alves, P. , Lourenço P.B. ; “ Influence of distinct reinforcing schemes on the shear resistance of masonry” .15th International Brick and Block Masonry Conference Florianópolis – Brazil , 2012.

۶- زیرنویس ها

[†]Autoclaved Aerated Concrete

[†]Jennifer E. Tanner

[†]Miha TOMAŽEVIČ